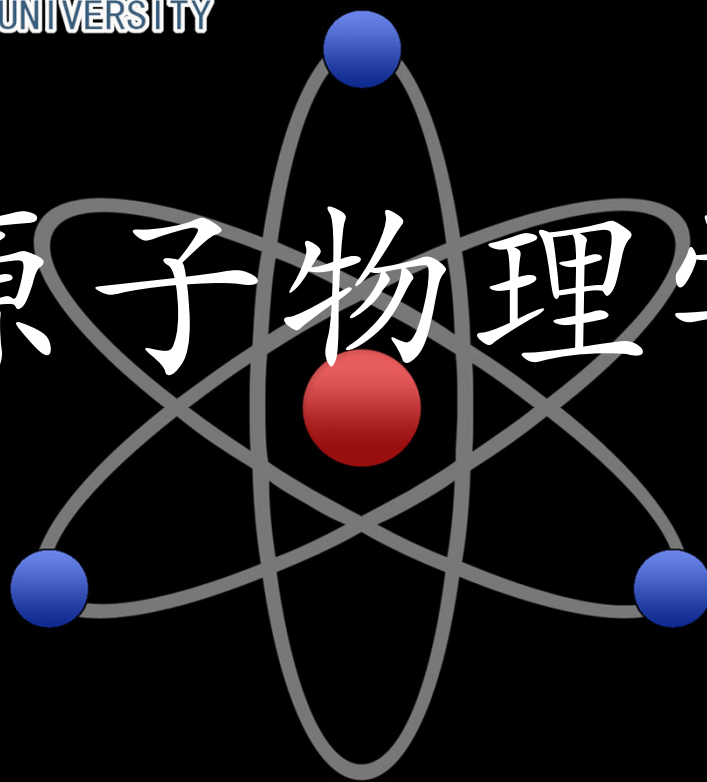




盐城师范学院  
YANCHENG TEACHERS UNIVERSITY

# 原子物理学



叶 润

Email: [yer@yctu.edu.cn](mailto:yer@yctu.edu.cn)

办公室：物电学院407

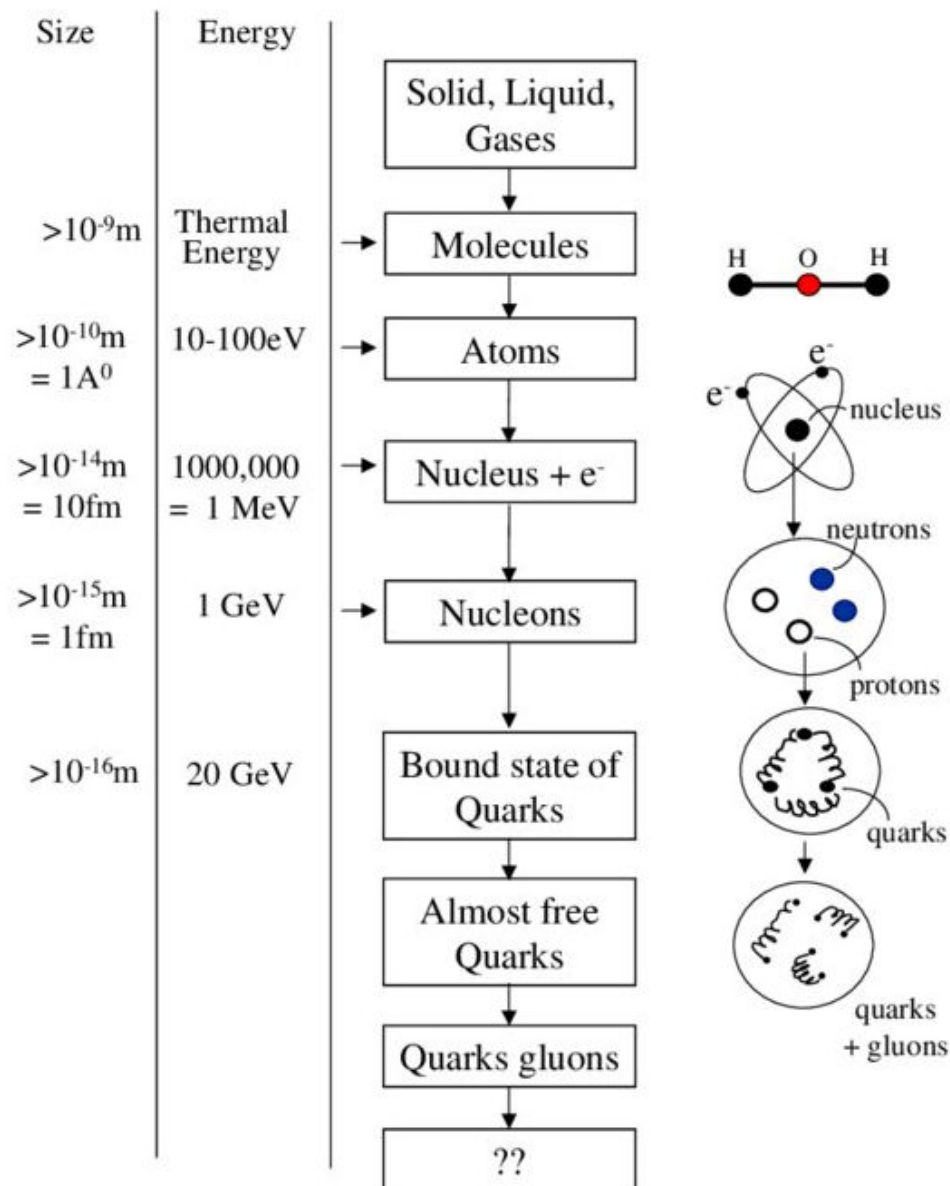
# 一、什么是原子物理学

原子物理学是原子的结构、运动规律及相互作用的物理学分支。

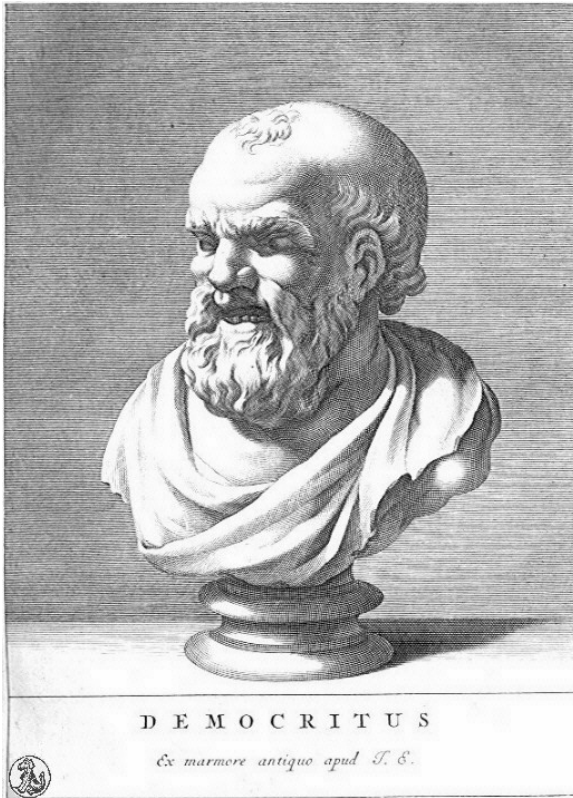
## 研究内容

- 原子的电子结构
- 原子光谱
- 原子之间的碰撞过程和相互作用
- 原子与其他物质的碰撞和相互作用

.....



## 二、原子的“前世今生”



德谟克利特  
(前460-前370)

“原子” 希腊文，  
“不可分割”



原子观  
伽利略  
笛卡尔  
牛顿

端：体之无序  
最前者也

物质连续  
无限止分割



反对派  
亚里士多德  
阿那萨古腊

一尺之棰，  
日取其半，  
万世不竭<sub>3</sub>

## 二、原子的“前世今生”

### 19世纪以来重要发现

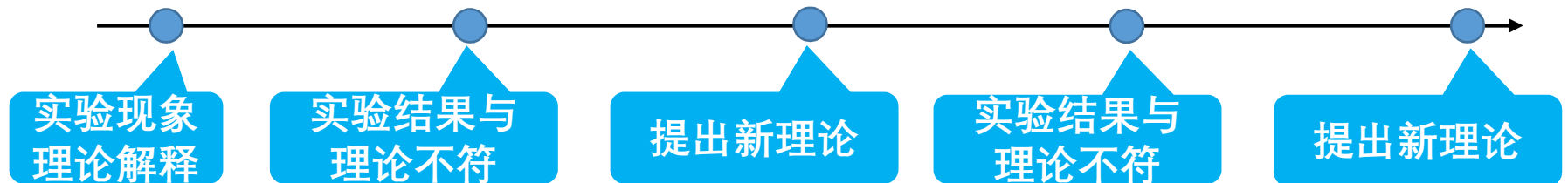
- 1807 道尔顿发现倍比定律，提出原子论
- 1811 阿伏伽德罗 阿伏伽德罗定律
- 1826 英国布朗 布朗运动
- 1869 门捷列夫 元素周期表
- 1895 伦琴 X射线
- 1896 贝克勒尔 天然放射性
- 1897 汤姆逊 电子
- 1911 卢瑟福 核式模型
- 1913 玻尔 玻尔模型（原子量子理论）

.....

原子物理学与量子力学

### 三、原子物理学的特点

- 正在发展的学科
- 实验学科  
以实验现象为核心，不断修正理论模型
- 讲授方式按照时间顺序



## 四、原子物理学讲授的内容

- 1. 讲述原子是由什么组成的
- 2. 讲述原子内电子是怎么运动的
- 3. 简单介绍量子力学
- 4. 介绍电子的自旋运动以及与轨道运动的耦合
- 5. 讲述原子核外多个电子的分布及组成原子后的外壳层精细结构
- 6. 介绍原子内壳层能级以及X射线的产生
- 7. 介绍原子核的基本性质及规律

# 第一章 原子的位形：卢瑟福模型

§ 1 背景知识

§ 2 卢瑟福模型的提出

§ 3 卢瑟福散射公式

§ 4 卢瑟福公式的实验验证

§ 5 行星模型的意义及困难

**重点：** 原子的核式结构      卢瑟福散射公式

# § 1 背景知识

## 一、原子的质量

1mol物质的含有的粒子数：阿伏伽德罗常数。

$$N_A = 6.022 \times 10^{23} \text{mol}^{-1}$$

已知该原子的摩尔质量为  $A$

原子质量

$$M_A = \frac{A}{N_A}$$

氢原子的质量：  $1.67 \times 10^{-27} \text{kg}$

原子质量的数量级：  $10^{-27} \text{kg}$ —— $10^{-25} \text{kg}$



## 二、原子的大小

设半径为 $r$ 的球形原子紧密排列

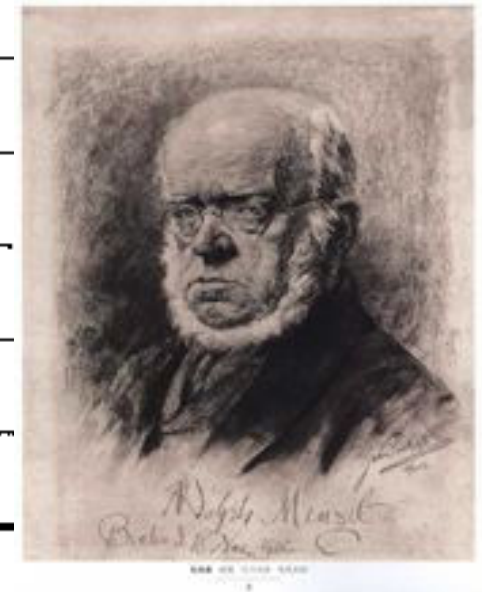
已知物质的质量密度为 $\rho$

$$\rho \cdot \frac{4}{3} \pi r^3 N_A = A$$

原子半径

$$r = \left( \frac{3A}{4\pi N_A \rho} \right)^{1/3}$$

元 素	质量数 $A$	质量密度 $\rho$ (g/cm <sup>3</sup> )	原子半径 $r$ (Å)
Li	7	0.7	1.6
Al	27	2.7	1.6
Cu	63	8.9	1.4
S	32	2.07	1.8
Pb	207	11.34	1.9



其中  $1\text{Å}(\text{埃}) = 10^{-10}\text{m}$ , 是原子领域中常用的长度单位。

*Anders Ångström*

瑞典科学家

安德斯·埃格斯特朗

原子的半径 —  $10^{-10}\text{m} = 0.1\text{nm}$

原子核半径 —  $10^{-15}\text{m} = 1\text{fm}$

### 三、电子的发现

1833年，法拉第提出电解定律，据此可以推得

**1mol任何原子的单价离子永远带有相同的电量。**

$$q = \frac{F}{N_A}$$

法拉第常量  $F$



阿伏伽德罗常数  $N_A$

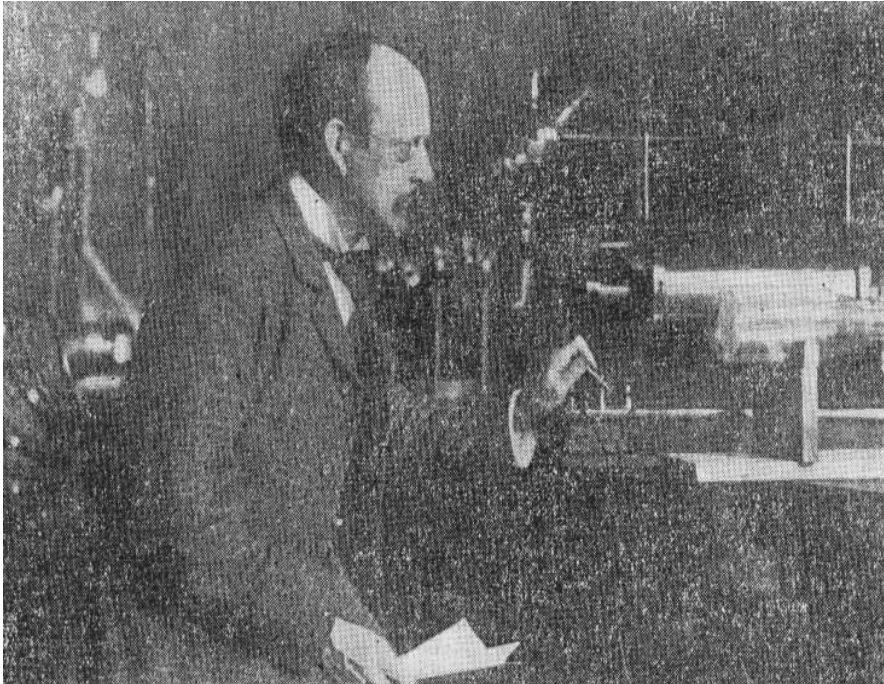
**推论：** 电荷存在最小单元。

1874年，斯通尼 (*G. J. Stoney*)

原子所带电荷为某一元电荷的整数倍。

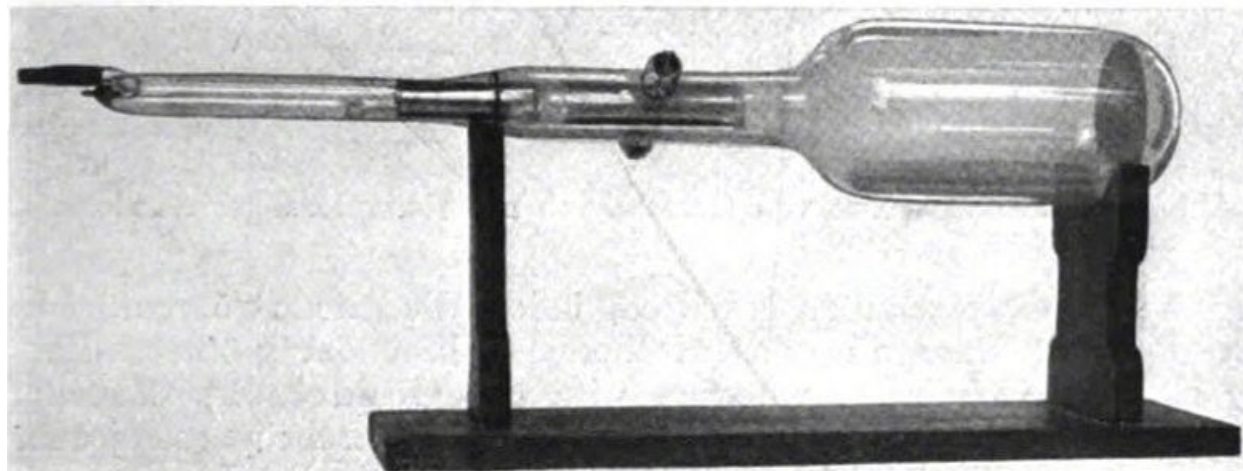
1881年，用“电子”命名电荷的最小单位。

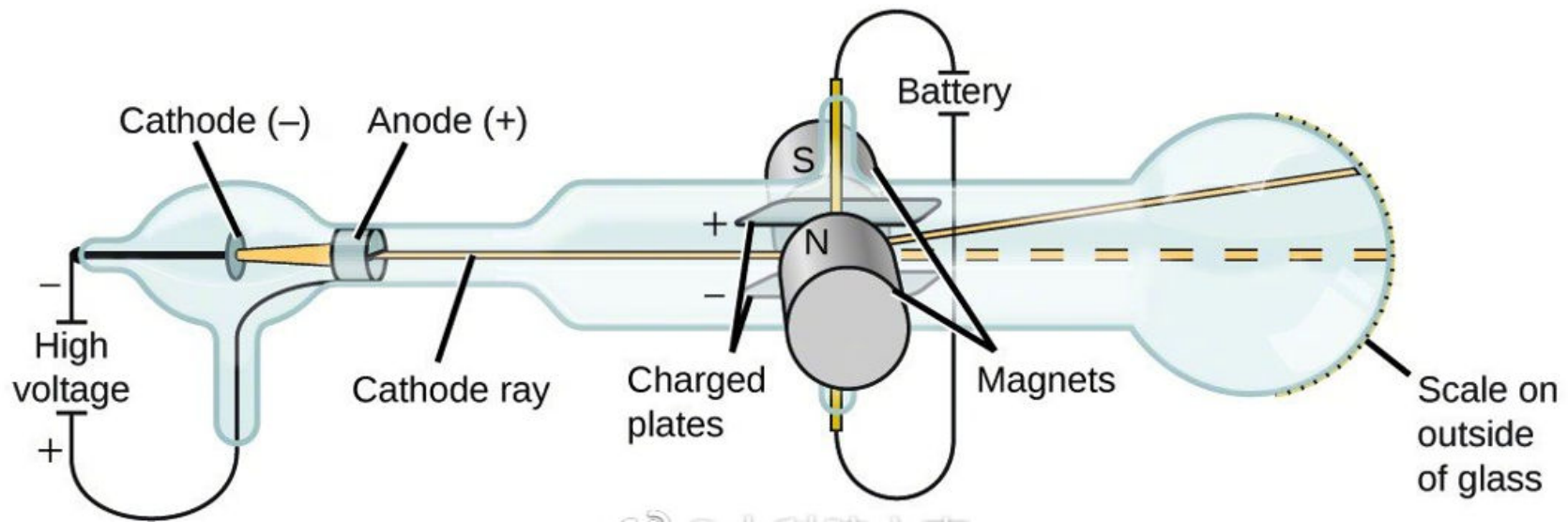
# *J. J. Thomson*



**1897**年，**汤姆孙**，**阴极射线管实验**，测出**电子**的**荷质比**。

**汤姆孙**：“最先打开通向粒子物理学大门的人。”





加电场E后射线偏转  $\Rightarrow$  阴极射 线带负电

再加磁场后射线不偏转  $\Rightarrow$   $qvB = qE \Rightarrow v = E / B$

去掉电场后射线成圆形轨迹  $\Rightarrow$   $qvB = mv^2 / r$

阴极射线微粒荷质比  $\Rightarrow$   $q / m = E / rB^2$

阴极射线微粒荷质比为氢离子荷质比的千倍

$\Rightarrow$  阴极射线质量约为氢原子质量的千分之一  $\Rightarrow$  电子

1910年, *R. Millikan* “油滴实验” 精确测定 电子电荷。

$$e = 1.59 \times 10^{-19} \text{C}$$

$$e = 1.60217648 \times 10^{-19} \text{C}$$

$$m_e = 9.1093897 \times 10^{-31} \text{kg}$$

电 荷 量 子 化

1923年获诺贝尔物理学奖



*R. Millikan* (美)  
(1868-1953)

电荷为何呈量子化分布的机制至今仍未解决！！！！

$$m_e = 9.10938215 \times 10^{-31} \text{kg}$$

$$m_p / m_e = 1836.15267247$$

原子物理学中两个重要的无量纲常数之一

$$m_p = 1.672621637 \times 10^{-27} \text{kg}$$

$$= 1.007276466 \text{ } u$$

$$E = mc^2$$

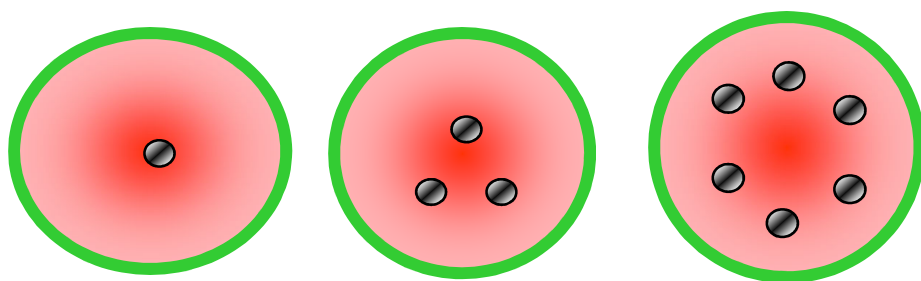
$$m_e = 0.510998 \text{MeV} / c^2$$

$$m_p = 938.272013 \text{MeV} / c^2$$



## § 2 卢瑟福模型的提出

### 一、汤姆孙“西瓜”原子模型 1898, 1903, 1907



正电荷和质量均匀分布在原子大小的弹性实心球内，电子象西瓜里的瓜子那样嵌在球内。

- 带负电的电子一颗一颗地镶嵌在球内各处的一个个同心环上，第一个环上可放5个电子，第二个环上可放10个，……原子中正负电荷总量相等。原子处于最低能态时，电子在平衡位置不动。当原子被激发到高能态时，电子在平衡位置上作简谐振动，并发射电磁辐射。
- 汤姆孙模型在解释元素的周期性方面取得了一定的成功，也能定性地解释原子的光辐射，例如，对于氢原子，根据汤姆孙模型，可有一个远紫外频率的光辐射，但不能解释实验观测到的大量不同频率的氢原子光谱。

## *The Nobel Prize in Physics 1906*



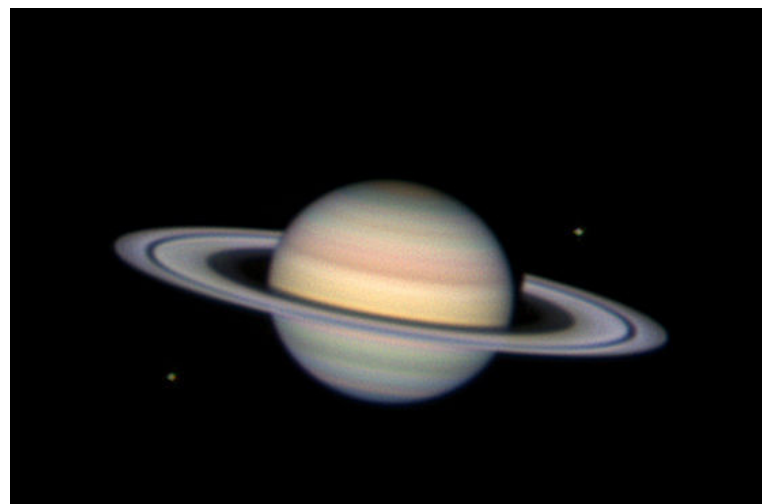
*Joseph John Thomson*

(1856-1940)

*"in recognition of the great merits of his theoretical and experimental investigations on the conduction of electricity by gases"*

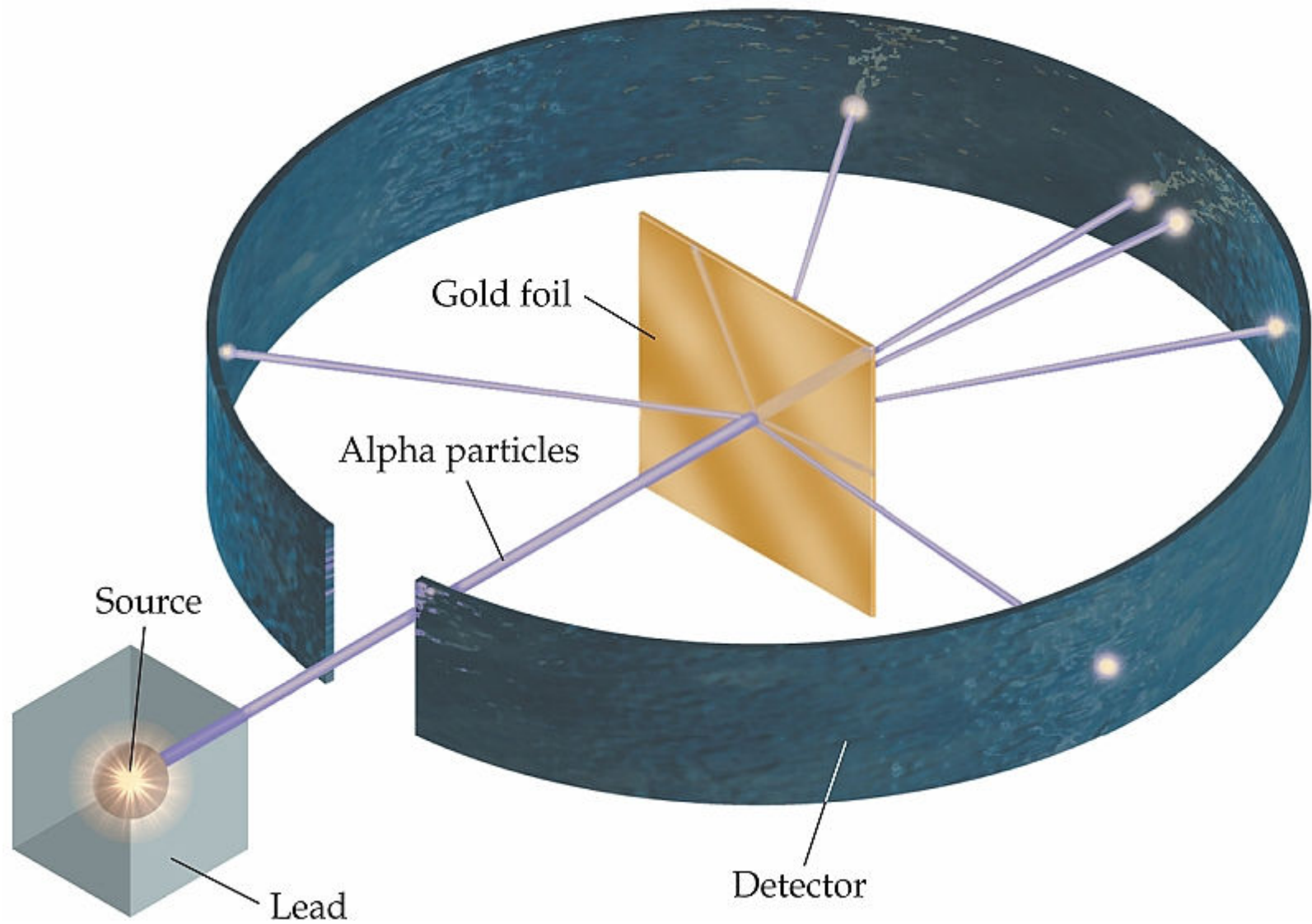
1903年，林纳在研究阴极射线被物质吸收实验里发现：原子内部是十分空虚的。

1904年，长冈半太郎提出原子的土星模型。认为原子内正电荷集中于中心，电子均匀分布着在绕正电球旋转的圆环上。



但他没有做进一步深入研究。

## 二、 $\alpha$ 粒子散射实验

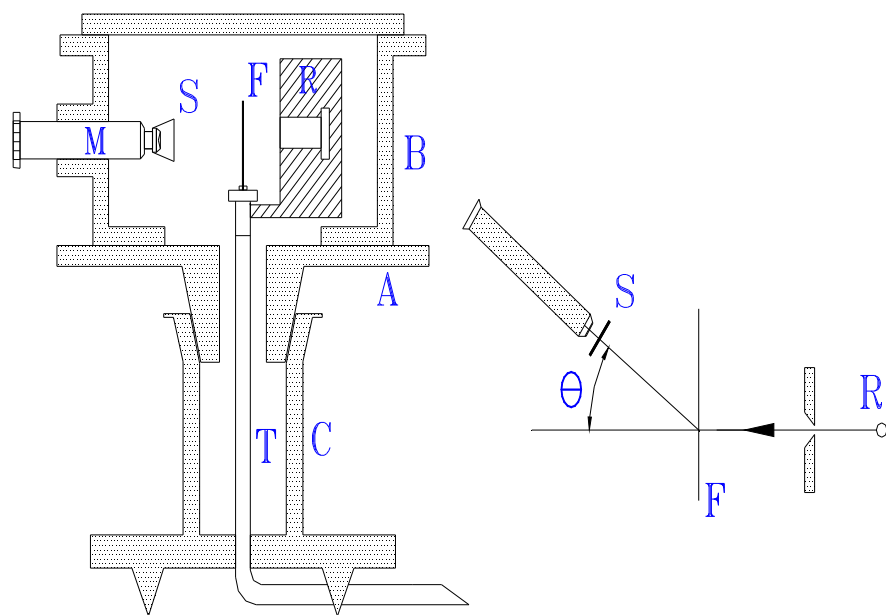


# $\alpha$ 粒子散射实验 (盖革—马斯顿)

**$\alpha$ 粒子**：放射性元素发射的带电粒子，速度约为 $c/10$ ， $+2e$ 的电荷，质量约为 $4M_H$ 。

**散射**：运动粒子受到另一粒子的作用而改变运动方向的现象。

**散射角**：散射粒子出射方向与入射方向之间的夹角。

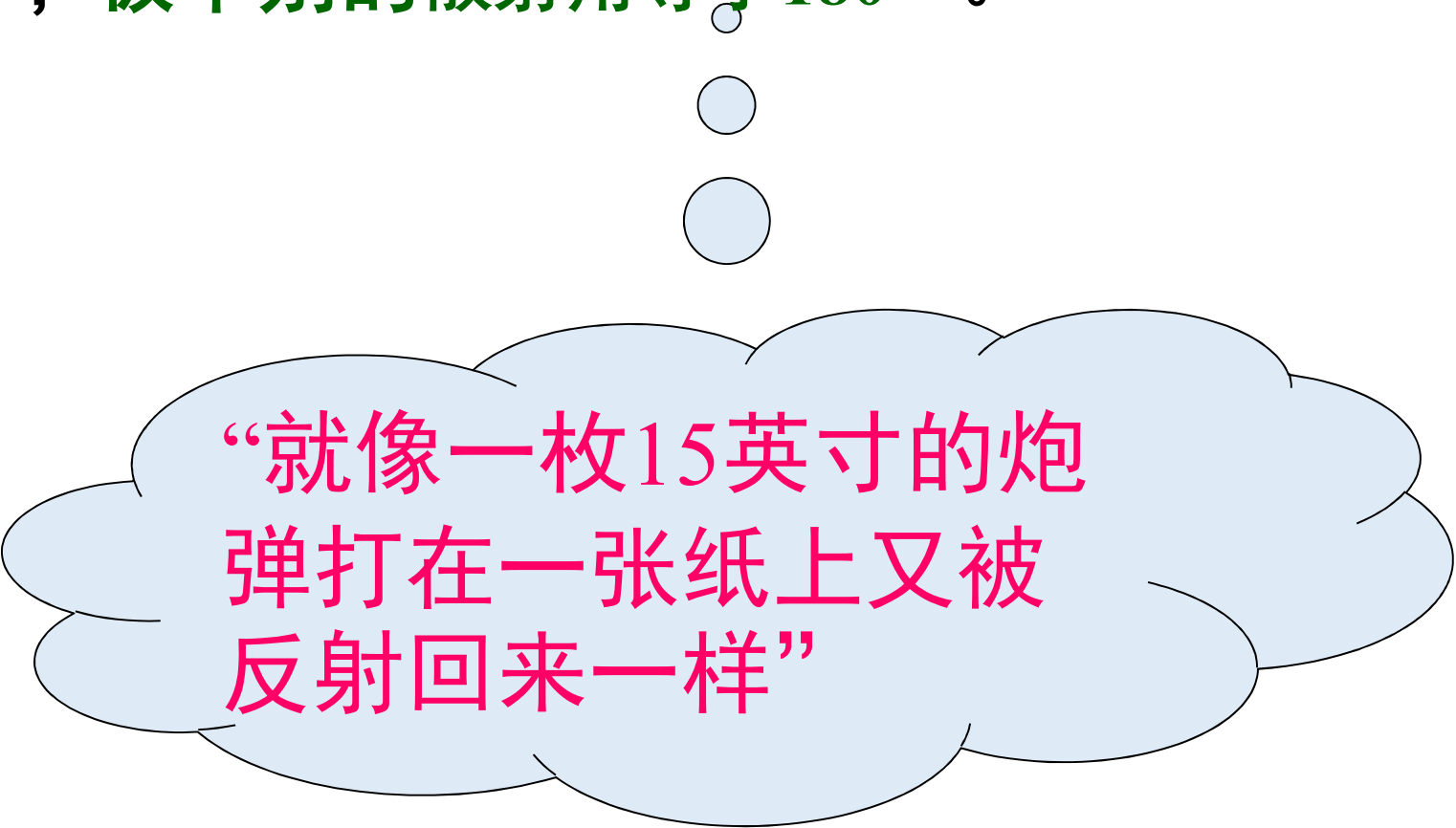


(a) 侧视图

(b) 俯视图

$R$ :放射源； $F$ :散射箔； $S$ :闪烁屏； $B$ :金属匣

**实验结果：** 大多数散射角很小，约**1/8000**散射大于  
**90°**；**极个别的散射角等于180°**。

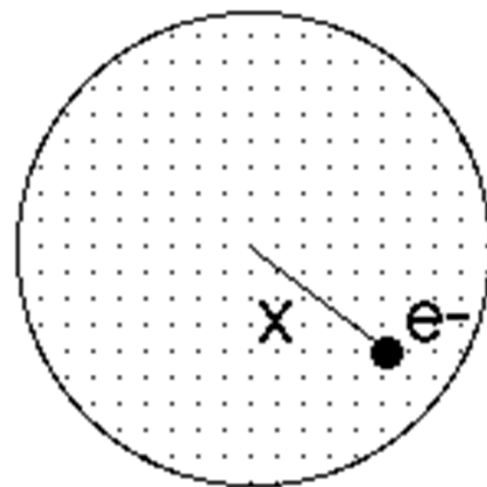


“就像一枚15英寸的炮弹打在一张纸上又被反射回来一样”

### 三、汤姆孙模型的困难

**近似1**：忽略粒子散射受电子的影响。

**近似2**：只考虑原子中带正电而质量大的部分对粒子的库仑力的作用影响。



$r > R$ ，粒子受的库仑斥力

$$F = \frac{1}{4\pi\epsilon_0} \frac{2Ze^2}{r^2}$$

$r < R$ ，粒子受的库仑斥力

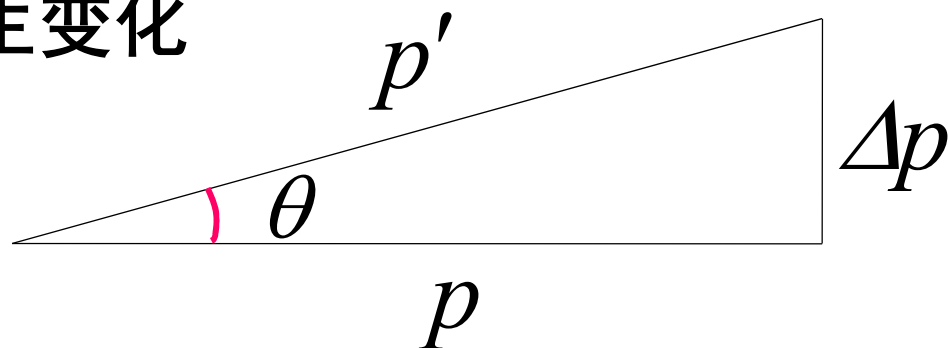
$$F = \frac{1}{4\pi\epsilon_0} \frac{2Ze^2}{R^3} r$$

$r = R$ ，粒子受的库仑斥力最大

$$F_{\max} = \frac{1}{4\pi\epsilon_0} \frac{2Ze^2}{R^2}$$



粒子受原子作用后动量发生变化



$$\Delta p = F_{\max} \cdot \Delta t = \frac{1}{4\pi\epsilon_0} \frac{2Ze^2}{R^2} \cdot \frac{2R}{v} = \frac{4Ze^2}{4\pi\epsilon_0 Rv}$$

散射角满足  $\tan \theta = \frac{\Delta p}{p} = \frac{4Ze^2}{4\pi\epsilon_0 RvM_\alpha v} = \frac{4Ze^2}{4\pi\epsilon_0 RM_\alpha v^2}$

$$\frac{e^2}{4\pi\epsilon_0} = 1.44 \text{ fm} \cdot \text{MeV}$$

发现:  $\theta \sim 10^{-4}$

结论：

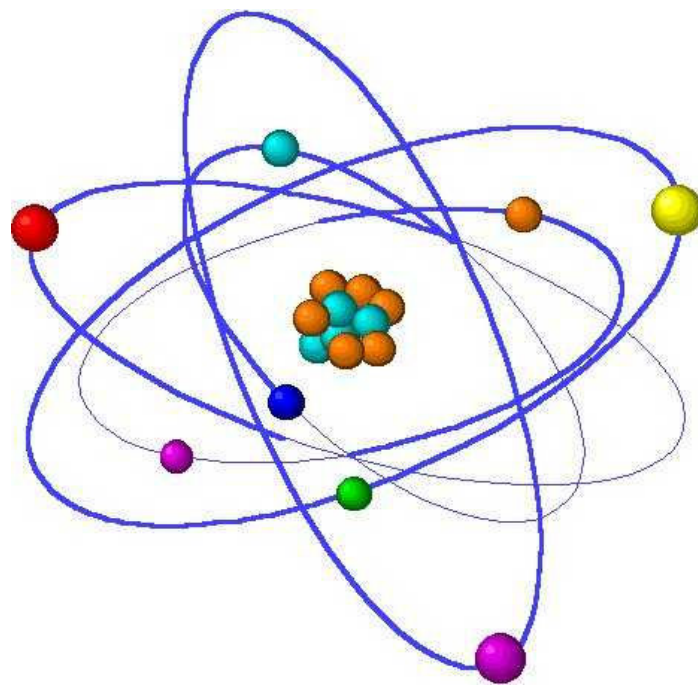
大角散射不可能在汤姆孙模型中发生。

散射角大于 $3^\circ$  的比1%少得多；散射角大于 $90^\circ$  的约为 $10^{-3500}$ 。必须重新寻找原子的结构模型。

困难：作用力 $F$ 太小，不能发生大角散射。

解决方法：减少带正电部分的半径 $R$ ，使作用力增大。

## 四、卢瑟福的原子核式模型

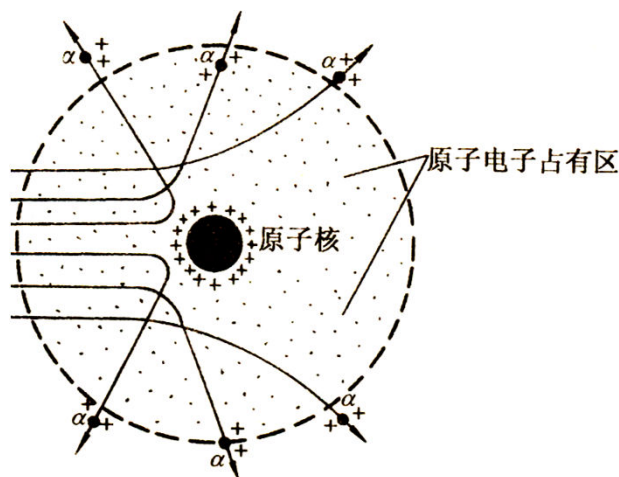


原子序数为 $Z$ 的原子的中心有一个带正电荷的原子核。

核带正电荷 $Ze$ 。核的体积极小但质量很大，几乎等于整个原子的质量。

核外有 $Z$ 个电子围绕它运动。

## 五、核式结构模型对 $\alpha$ 粒子散射实验的定性解释



核很小，绝大部分 $\alpha$ 粒子从原子核周围穿过，原子核的作用力不大，偏转很小。

少数 $\alpha$ 粒子从原子核附近通过， $r$ 较小，受的作用力较大，有较大的偏转。

极少数正对原子核入射的 $\alpha$ 粒子，由于 $r$ 很小，受的作用力很大，有可能反弹回来。

【例题1】1911年，卢瑟福根据  $\alpha$  粒子在原子内的 **大角** 散射现象，而提出了原子的 **核式** 结构模型。

【例题2】在认识原子结构，建立原子模型的过程中，  $\alpha$  粒子散射 实验起了重大作用。

**【例题3】** 原子核式结构的提出是根据 $\alpha$ 粒子的散射（ ）。

A、以大角散射为主，也存在小角散射

B、以小角散射为主，也存在大角散射

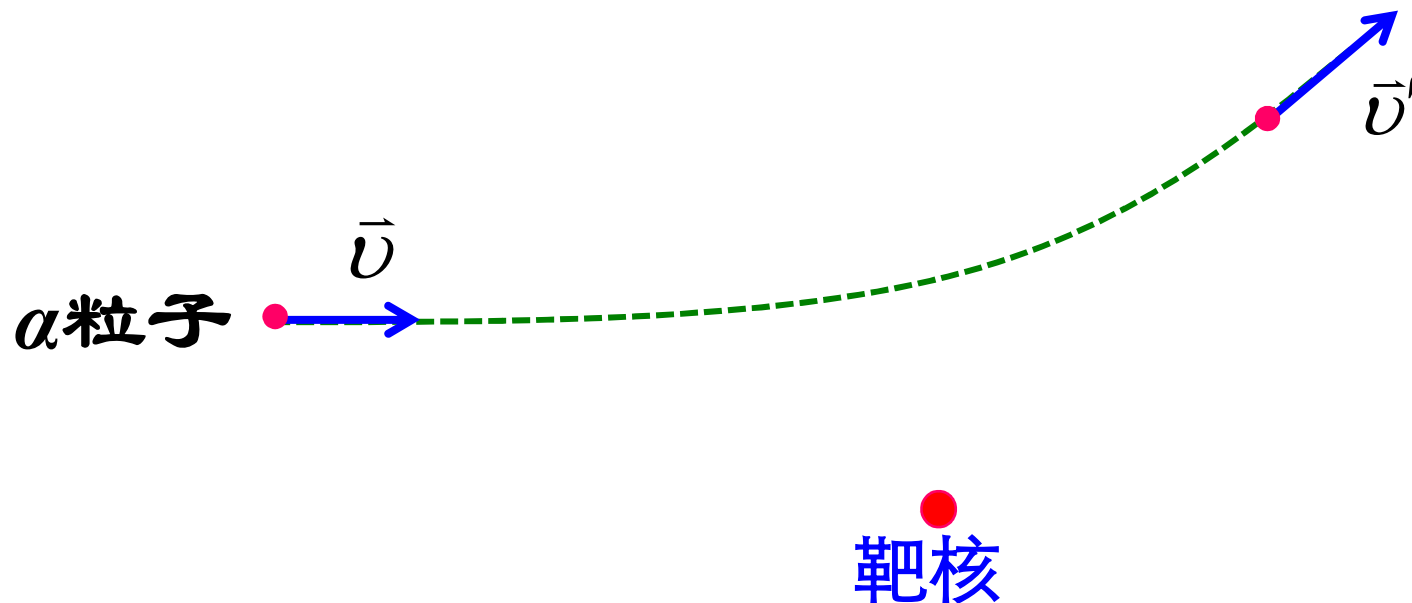
C、 $\alpha$ 粒子只偏 $2^\circ - 3^\circ$

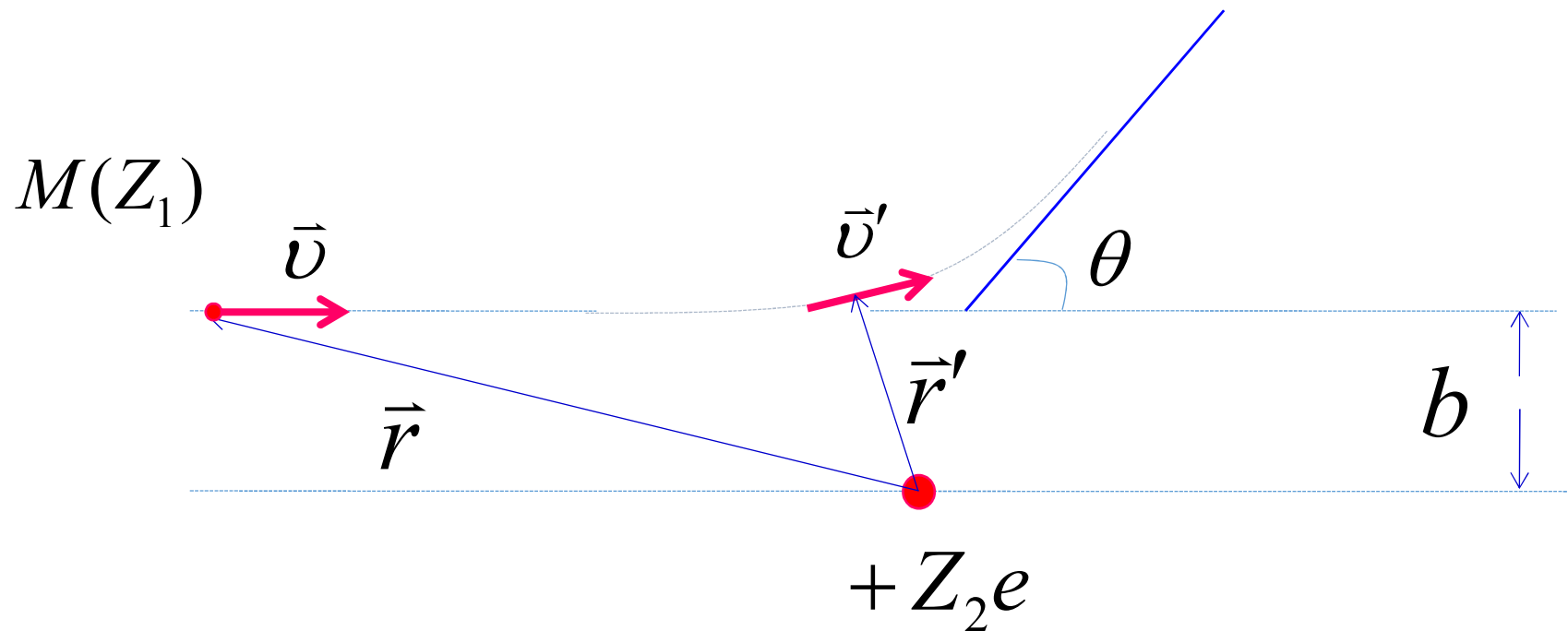
D、绝大多数接近 $180^\circ$

## § 3 卢瑟福散射公式

### 一、库仑散射公式

1、库仑散射：带电粒子穿过物质时，在原子核的库仑场作用下发生偏转的现象。





有心力作用下，机械能、角动量都守恒。

$$\left\{ \begin{array}{l} \frac{1}{2} M v^2 = \frac{1}{2} M v'^2 + \frac{1}{4\pi\epsilon_0} \frac{Z_1 Z_2 e^2}{r'} \\ \vec{r} \times M \vec{v} = \vec{r}' \times M \vec{v}' \quad (L = M v b) \end{array} \right.$$



## 2、库仑散射公式的推导

$$b = \frac{1}{4\pi\epsilon_0} \frac{Z_1 Z_2 e^2}{2E} \cot \frac{\theta}{2}$$

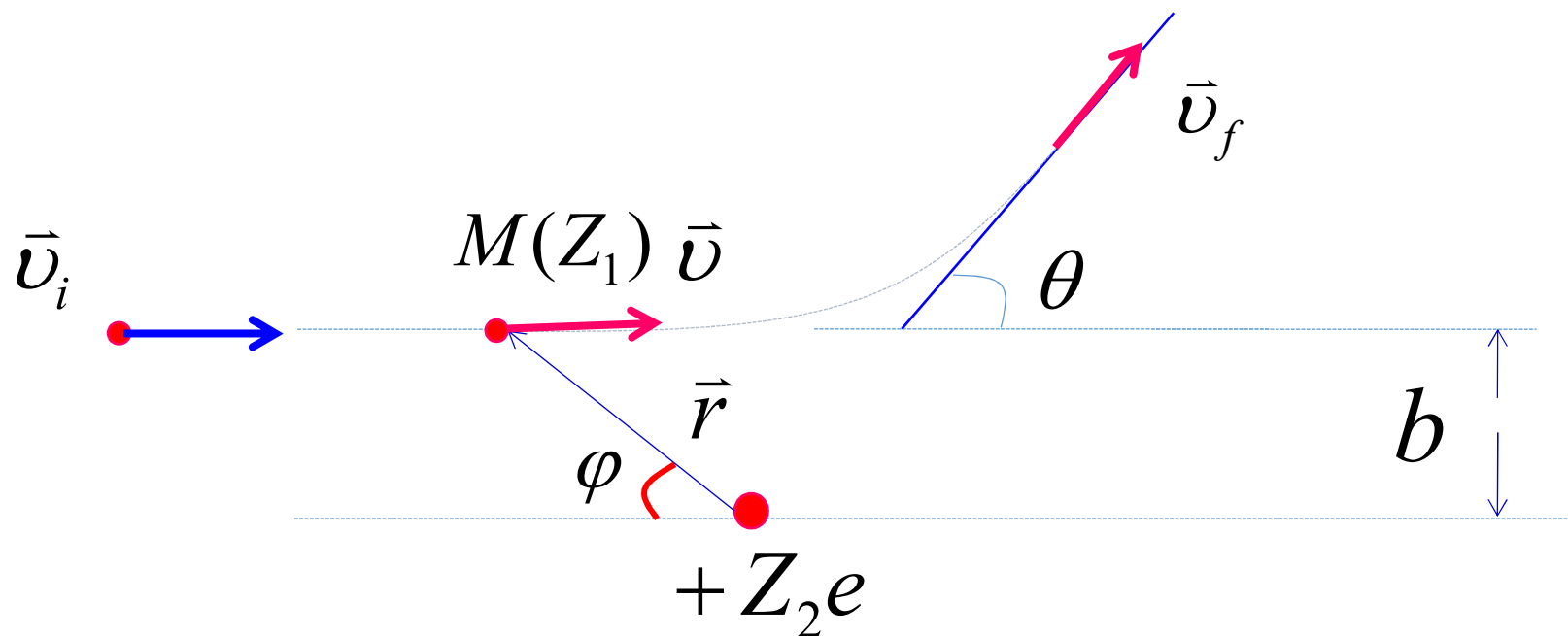
四个假设

只发生单次散射 (原子内部空旷)

只有库仑相互作用 (忽略万有引力)

核外电子作用可忽略

靶核静止

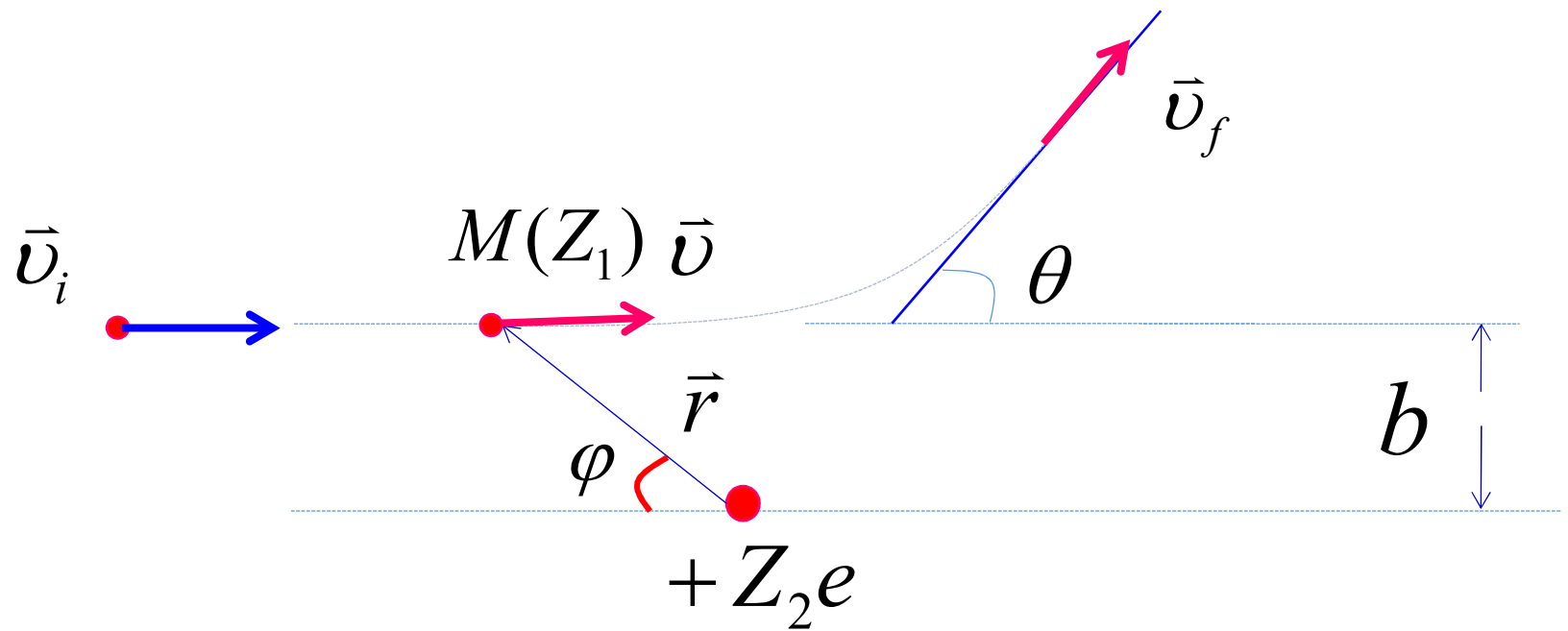


**牛顿第二定律**

$$\vec{F} = m\vec{a} \quad \longrightarrow \quad \frac{1}{4\pi\epsilon_0} \frac{Z_1 Z_2 e^2}{r^2} \vec{e}_r = m \frac{d\vec{v}}{d\varphi} \boxed{\frac{d\varphi}{dt}}$$

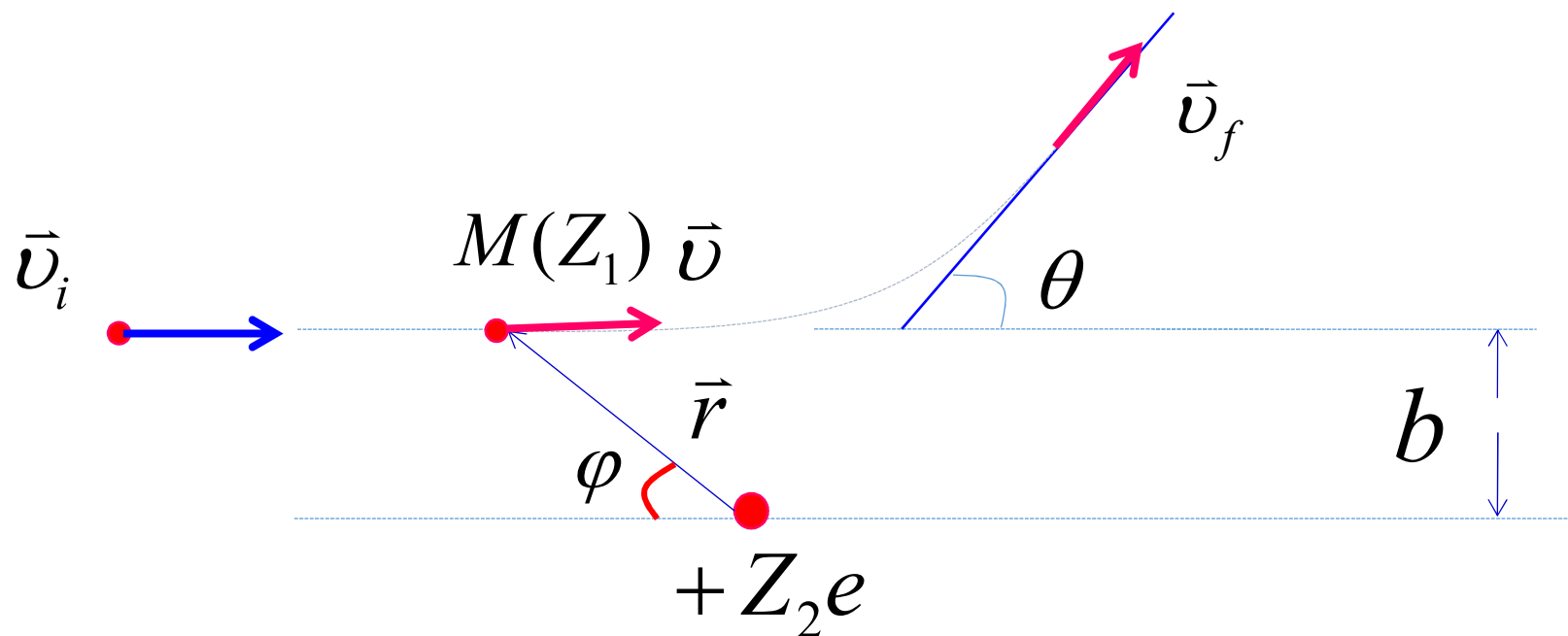
**角动量守恒**

$$L = J\omega = mr^2\omega = mr^2 \boxed{\frac{d\varphi}{dt}}$$



$$\frac{1}{4\pi\epsilon_0} \frac{Z_1 Z_2 e^2}{r^2} \bar{e}_r = m \frac{d\bar{v}}{d\varphi} \frac{L}{mr^2}$$

$$d\bar{v} = \frac{1}{4\pi\epsilon_0} \frac{Z_1 Z_2 e^2}{L} \bar{e}_r d\varphi$$



两边积分

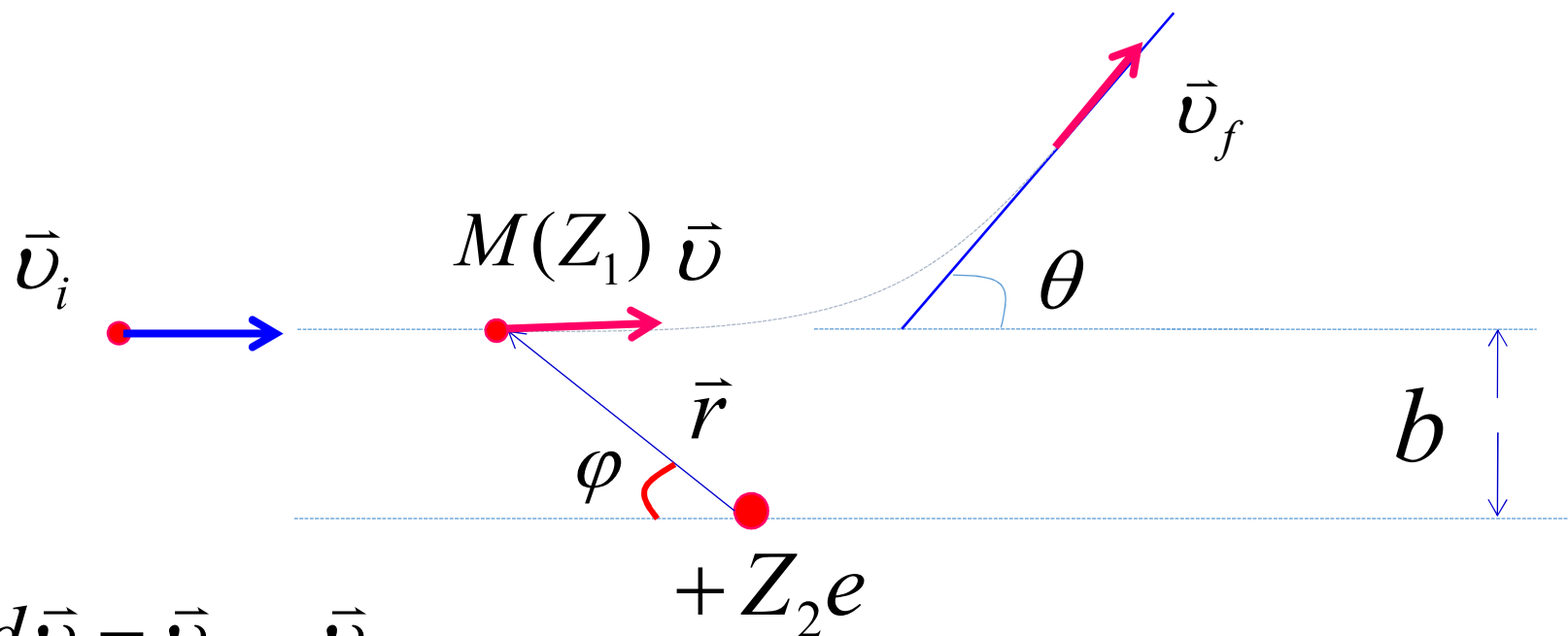
$$\int d\vec{v} = \frac{1}{4\pi\epsilon_0} \frac{Z_1 Z_2 e^2}{L} \int \vec{e}_r d\varphi$$

$$\int d\vec{v} = \vec{v}_f - \vec{v}_i$$

能量守恒

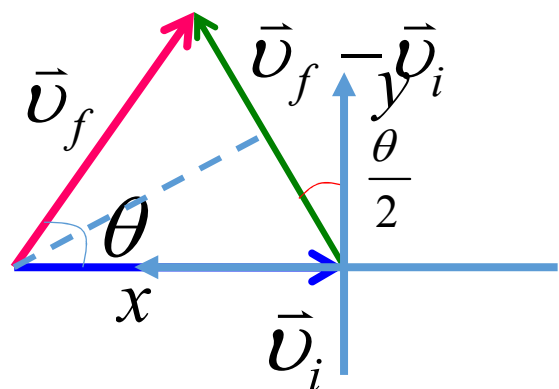
$$\frac{1}{2} M v_f^2 = \frac{1}{2} M v_i^2$$

$$v_f = v_i = v$$



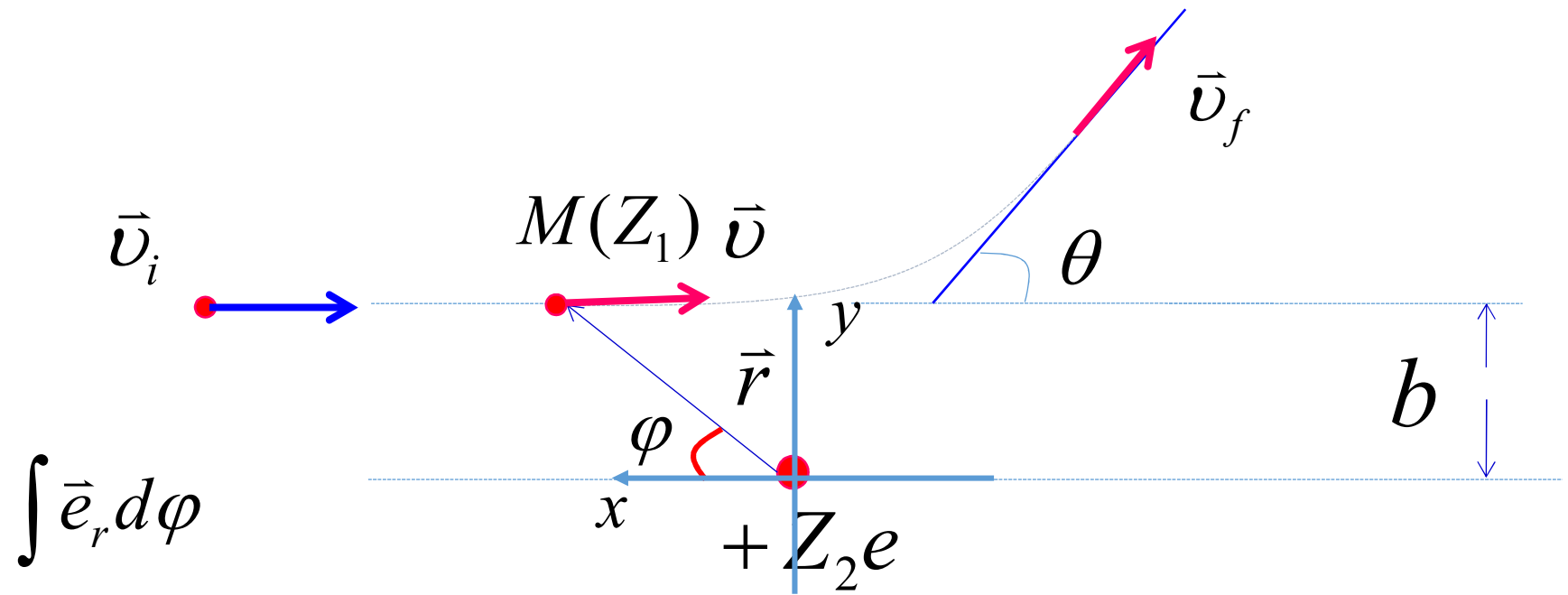
$$\int d\vec{v} = \vec{v}_f - \vec{v}_i$$

$$|\vec{v}_f - \vec{v}_i| = 2v \sin \frac{\theta}{2}$$



$$\int d\vec{v} = \vec{v}_f - \vec{v}_i = 2v \sin \frac{\theta}{2} \vec{e}_u$$

$$\int d\vec{v} = \vec{v}_f - \vec{v}_i = 2v \sin \frac{\theta}{2} \left( \sin \frac{\theta}{2} \vec{i} + \cos \frac{\theta}{2} \vec{j} \right)$$



$$\begin{aligned}
 \int \vec{e}_r d\varphi &= \int_0^{\pi-\theta} (\cos \varphi \vec{i} + \sin \varphi \vec{j}) d\varphi \\
 &= (\sin \varphi \vec{i} - \cos \varphi \vec{j}) \Big|_0^{\pi-\theta} \\
 &= \sin \theta \vec{i} + (\cos \theta + 1) \vec{j} \\
 &= 2 \cos \frac{\theta}{2} \left( \sin \frac{\theta}{2} \vec{i} + \cos \frac{\theta}{2} \vec{j} \right)
 \end{aligned}$$

$$\int d\vec{v} = \frac{1}{4\pi\epsilon_0} \frac{Z_1 Z_2 e^2}{L} \int \vec{e}_r d\varphi$$

$$\int d\vec{v} = 2v \sin \frac{\theta}{2} \left( \sin \frac{\theta}{2} \vec{i} + \cos \frac{\theta}{2} \vec{j} \right)$$

$$\int \vec{e}_r d\varphi = 2 \cos \frac{\theta}{2} \left( \sin \frac{\theta}{2} \vec{i} + \cos \frac{\theta}{2} \vec{j} \right)$$

$$2v \sin \frac{\theta}{2} = \frac{1}{4\pi\epsilon_0} \frac{Z_1 Z_2 e^2}{Mvb} 2 \cos \frac{\theta}{2} \quad (L = Mvb)$$

$$b = \frac{1}{4\pi\epsilon_0} \frac{Z_1 Z_2 e^2}{Mv^2} \cot \frac{\theta}{2} = \frac{1}{4\pi\epsilon_0} \frac{Z_1 Z_2 e^2}{2E} \cot \frac{\theta}{2}$$

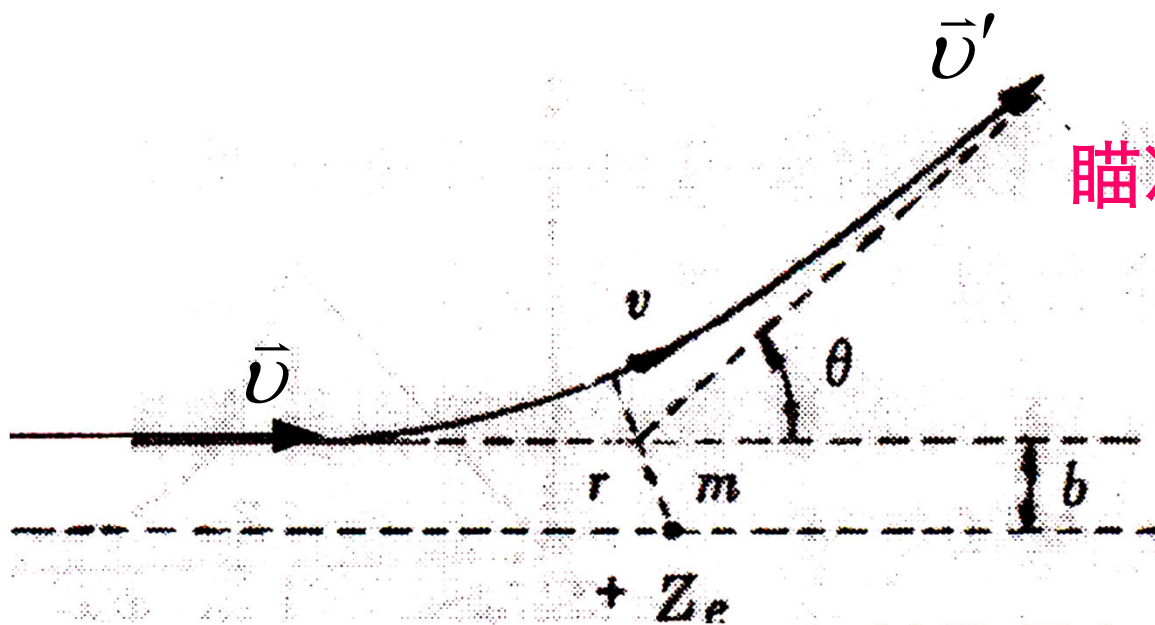
# 库仑散射公式

$$b = \frac{1}{4\pi\epsilon_0} \frac{Z_1 Z_2 e^2}{2E} \cot \frac{\theta}{2}$$

$$a \equiv \frac{Z_1 Z_2 e^2}{4\pi\epsilon_0 E}$$

$$b = \frac{a}{2} \cot \frac{\theta}{2}$$





瞄准距离（碰撞参数）

$$b = \frac{a}{2} \cot \frac{\theta}{2}$$

入射粒子与固定散射体无相互作用情况下的最小直线距离。

库仑散射因子

$$a \equiv \frac{Z_1 Z_2 e^2}{4\pi\epsilon_0 E}$$

入射粒子的动能

$$E = \frac{1}{2} M v^2$$

$$b = \frac{a}{2} \cot \frac{\theta}{2}$$

$$a \equiv \frac{Z_1 Z_2 e^2}{4\pi\epsilon_0 E}$$

若靶核不动这个假设不成立，则可引入质心系能量

$$E_c = \frac{1}{2} m_\mu v^2$$

$$m_\mu = \frac{mm'}{m+m'}$$

折合质量

相对运动  
动能

$$E_c = \frac{m'}{m+m'} E_L$$

入射粒子的实验室  
动能

$$m' \gg m, E_c = E_L$$

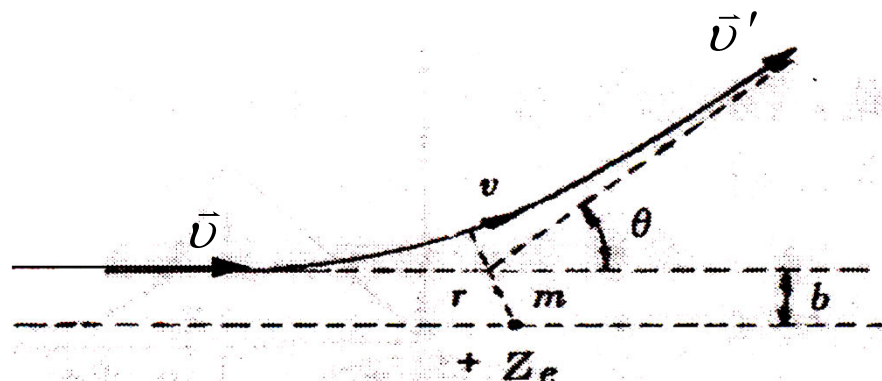
$$E_L = \frac{1}{2} m v^2$$

例： $^{214}\text{Po}(\text{RaC}')$ 放射出  $\alpha$  粒子，其能量为 7.68 MeV，当它在金箔上散射时（满足  $m \ll M$  条件），按式(3-1)可求出  $b$  与  $\theta$  的关系\*\*\*：

瞄准距离 $b/\text{fm}$	散 射 角 $\theta$
10	$112^\circ$
100	$16.9^\circ$
1 000	$1.7^\circ$

$$b = \frac{a}{2} \cot \frac{\theta}{2}, a = \frac{Z_1 Z_2 e^2}{4\pi\epsilon_0 E}$$

$$\frac{e^2}{4\pi\epsilon_0} = 1.44 \text{ fm} \cdot \text{MeV}$$



$$b = \frac{a}{2} \cot \frac{\theta}{2}$$

$b$ 和 $\theta$ 的关系： $b$ 小， $\theta$ 大； $b$ 大， $\theta$ 小。

缺点： $b$ 是不可控制的微观量，无法测量，  
公式无法被实验检验。

如何解决？  
卢瑟福完成了这项工作，  
并推导出了著名的卢瑟福公式。